

„ZOOM AND ENHANCE“ GEHT WIRKLICH MIT ATOMIC NORM MINIMIZATION (UND OHNE MACHINE LEARNING)

Bachelorarbeit von Viktor Stein, März 2021
Betreuung: Prof. Dr. Gabriele Steidl und Dr. Robert Beinert
AG Angewandte Mathematik



17. Dies Mathematicus, 25.11.2022
Institut für Mathematik, TU Berlin

„ZOOM AND ENHANCE“-KLISCHEE

- „Zoom“ unrealistisch: Computer kann Pixel nicht erfinden

„ZOOM AND ENHANCE“-KLISCHEE

- „Zoom“ **unrealistisch**: Computer kann Pixel nicht erfinden
- Mit ANM: „enhancen“ = **Auflösung verbessern**

„ZOOM AND ENHANCE“-KLISCHEE

- „Zoom“ **unrealistisch**: Computer kann Pixel nicht erfinden
- Mit ANM: „enhancen“ = **Auflösung verbessern**

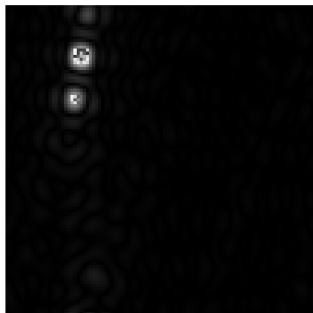


ABB. 1: Links: Bild mit niedriger Auflösung.

„ZOOM AND ENHANCE“-KLISCHEE

- „Zoom“ **unrealistisch**: Computer kann Pixel nicht erfinden
- Mit ANM: „enhancen“ = **Auflösung verbessern**

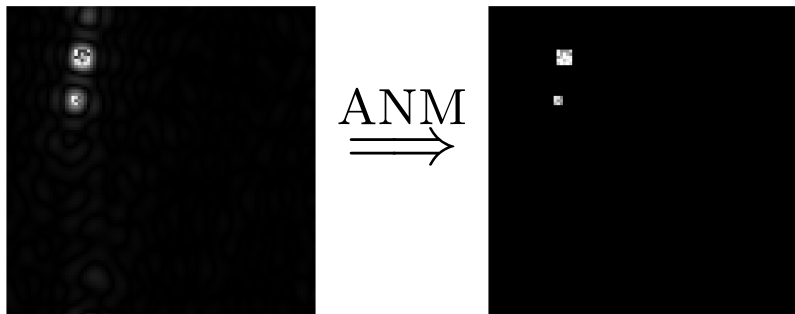


ABB. 1: Links: Bild mit niedriger Auflösung. Rechts: Das Original.

DAS MODELL IN 2D UND 1D

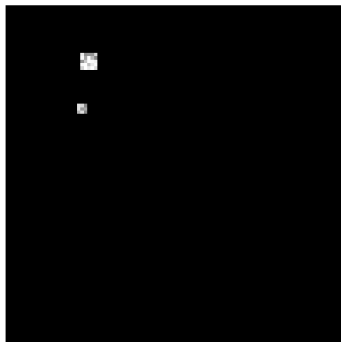
Simple Bilder

DAS MODELL IN 2D UND 1D

Simple Bilder \leadsto Viele Pixel enthalten keine Infos.

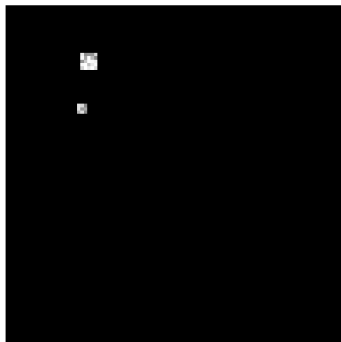
DAS MODELL IN 2D UND 1D

Simple Bilder \leadsto Viele Pixel enthalten keine Infos.



DAS MODELL IN 2D UND 1D

Simple Bilder \leadsto Viele Pixel enthalten keine Infos.



1-dimensionales Analogon zu Bildern:

DAS MODELL IN 2D UND 1D

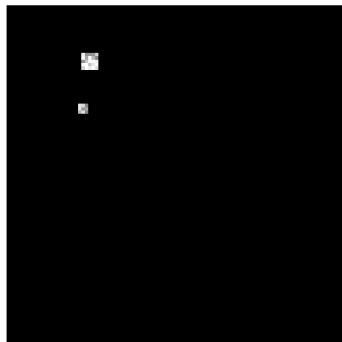
Simple Bilder \leadsto Viele Pixel enthalten keine Infos.



1-dimensionales Analogon zu Bildern:

DAS MODELL IN 2D UND 1D

Simple Bilder \leadsto Viele, **viele** Pixel enthalten keine Infos.



1-dimensionales Analogon im Grenzwert zu ∞ vielen Pixeln:



DAS MATHEMATISCHE MODELL - EIN SPIKE TRAIN

Modelliere Signal als **spike train** auf dem Einheitskreis \mathbb{T} :

$$x := \sum_{k=1}^r c_k \delta_{t_k}$$

DAS MATHEMATISCHE MODELL - EIN SPIKE TRAIN

Modelliere Signal als **spike train** auf dem Einheitskreis \mathbb{T} :

$$x := \sum_{k=1}^r c_k \delta_{t_k} \qquad \delta_t(A) := \begin{cases} 1, & \text{wenn } t \in A, \\ 0, & \text{sonst.} \end{cases}$$

mit **Amplituden** $(c_k)_{k=1}^r \in \mathbb{C} \setminus \{0\}$ und **Positionen** $(t_k)_{k=1}^r \subseteq \mathbb{T}$.

DAS MATHEMATISCHE MODELL - EIN SPIKE TRAIN

Modelliere Signal als **spike train** auf dem Einheitskreis \mathbb{T} :

$$x := \sum_{k=1}^r c_k \delta_{t_k} \quad \delta_t(A) := \begin{cases} 1, & \text{wenn } t \in A, \\ 0, & \text{sonst.} \end{cases}$$

mit **Amplituden** $(c_k)_{k=1}^r \in \mathbb{C} \setminus \{0\}$ und **Positionen** $(t_k)_{k=1}^r \subseteq \mathbb{T}$.

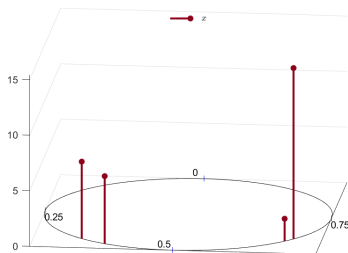


ABB. 2: Ein reeller spike train auf \mathbb{T} mit $r = 4$ spikes.

DAS NIEDRIG AUFGELÖSTE SIGNAL

Wegen **Beugung**: bildgebendes Gerät hat **beschränkte Auflösung**.
 \implies das wirkliche empfangene, niedrig aufgelöste Signal ist

$$x_{\text{low}}: \mathbb{T} \rightarrow \mathbb{C}, \quad t \mapsto (x * g)(t)$$

DAS NIEDRIG AUFGELÖSTE SIGNAL

Wegen **Beugung**: bildgebendes Gerät hat **beschränkte Auflösung**.

⇒ das wirkliche empfangene, niedrig aufgelöste Signal ist

$$x_{\text{low}}: \mathbb{T} \rightarrow \mathbb{C}, \quad t \mapsto (x * g)(t)$$

wobei

$$g(t) := \frac{1}{2\pi} \sum_{|k| \leq f} e^{2\pi i t k}$$

für $f \in \mathbb{N}$.

DAS NIEDRIG AUFGELÖSTE SIGNAL

Wegen **Beugung**: bildgebendes Gerät hat **beschränkte Auflösung**.

⇒ das wirkliche empfangene, niedrig aufgelöste Signal ist

$$x_{\text{low}}: \mathbb{T} \rightarrow \mathbb{C}, \quad t \mapsto (x * g)(t)$$

wobei

$$g(t) := \frac{1}{2\pi} \sum_{|k| \leq f} e^{2\pi i t k}$$

für $f \in \mathbb{N}$.

Die FOURIER-Transformation

von g ist $\hat{g} = \mathbb{1}_{\{-f, \dots, f\}}$.

DAS NIEDRIG AUFGELÖSTE SIGNAL

Wegen **Beugung**: bildgebendes Gerät hat **beschränkte Auflösung**.

⇒ das wirkliche empfangene, niedrig aufgelöste Signal ist

$$x_{\text{low}}: \mathbb{T} \rightarrow \mathbb{C}, \quad t \mapsto (x * g)(t) = \sum_{k=1}^r c_k g(t - t_k) \quad (* : \text{Faltung}).$$

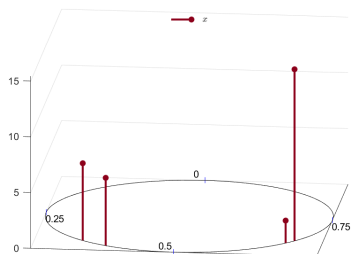
wobei

$$g(t) := \frac{1}{2\pi} \sum_{|k| \leq f} e^{2\pi i t k}$$

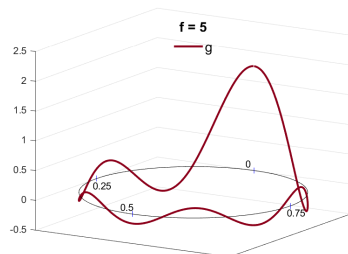
für $f \in \mathbb{N}$.

Die FOURIER-Transformation

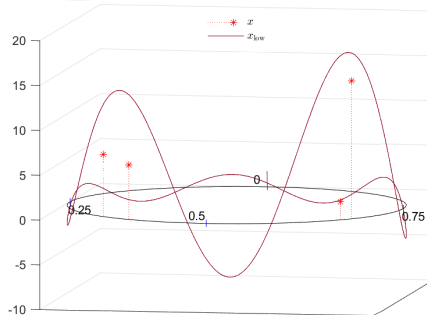
von g ist $\hat{g} = \mathbb{1}_{\{-f, \dots, f\}}$.



$*$



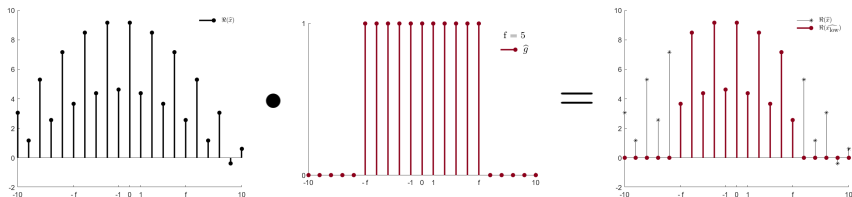
$=$



MESSUNG: FOURIER-TRANSFORMATION DES NIEDRIG AUFGELÖSTEN SIGNALS

Die **FOURIER-Transformation** von x_{low} ist

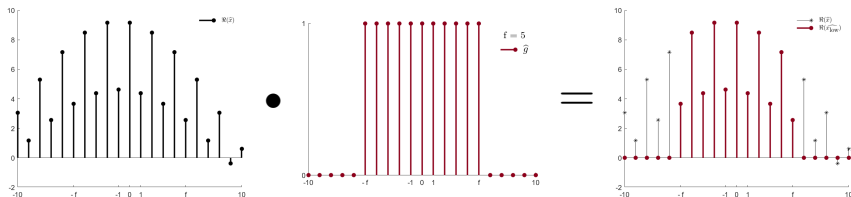
$$\widehat{x_{\text{low}}}: \mathbb{Z} \rightarrow \mathbb{C}, \quad j \mapsto \hat{x}(j)\hat{g}(j) = \left(\sum_{k=1}^r c_k e^{-2\pi i j t_k} \right) \mathbb{1}_{|j| \leq f}(j).$$



MESSUNG: FOURIER-TRANSFORMATION DES NIEDRIG AUFGELÖSTEN SIGNALS

Die **FOURIER-Transformation** von x_{low} ist

$$\widehat{x_{\text{low}}}: \mathbb{Z} \rightarrow \mathbb{C}, \quad j \mapsto \hat{x}(j)\hat{g}(j) = \left(\sum_{k=1}^r c_k e^{-2\pi i j t_k} \right) \mathbb{1}_{|j| \leq f}(j).$$



\leadsto Faltung von x mit g löscht die hohen Frequenzen von x .

NIEDERFREQUENTE MESSUNGEN ALS VEKTOR

Da $\hat{g} = \mathbb{1}_{|\cdot| \leq f}$, bleiben $d := 2f + 1$ Messungen

NIEDERFREQUENTE MESSUNGEN ALS VEKTOR

Da $\hat{g} = \mathbb{1}_{|\cdot| \leq f}$, bleiben $d := 2f + 1$ Messungen

$$\tilde{x} := (\widehat{x_{\text{low}}}(j))_{|j| \leq f} = \left(\sum_{k=1}^r c_k e^{-2\pi i j t_k} \right)_{|j| \leq f} = \sum_{k=1}^r c_k \psi(e^{-2\pi i t_k}) \in \mathbb{C}^d,$$

wobei $\psi(z) := (z^j)_{|j| \leq f}$.

NIEDERFREQUENTE MESSUNGEN ALS VEKTOR

Da $\hat{g} = \mathbb{1}_{|\cdot| \leq f}$, bleiben $d := 2f + 1$ Messungen

$$\tilde{x} := (\widehat{x_{\text{low}}}(j))_{|j| \leq f} = \left(\sum_{k=1}^r c_k e^{-2\pi i j t_k} \right)_{|j| \leq f} = \sum_{k=1}^r c_k \psi(e^{-2\pi i t_k}) \in \mathbb{C}^d,$$

wobei $\psi(z) := (z^j)_{|j| \leq f}$.

Zwischenbilanz:

$$x = \sum_{k=1}^r c_k \delta_{t_k}$$

NIEDERFREQUENTE MESSUNGEN ALS VEKTOR

Da $\hat{g} = \mathbb{1}_{|\cdot| \leq f}$, bleiben $d := 2f + 1$ Messungen

$$\tilde{x} := (\widehat{x_{\text{low}}}(j))_{|j| \leq f} = \left(\sum_{k=1}^r c_k e^{-2\pi i j t_k} \right)_{|j| \leq f} = \sum_{k=1}^r c_k \psi(e^{-2\pi i t_k}) \in \mathbb{C}^d,$$

wobei $\psi(z) := (z^j)_{|j| \leq f}$.

Zwischenbilanz:

$$x = \sum_{k=1}^r c_k \delta_{t_k} \xrightarrow[\text{Messung}]{\text{ergibt die}} \tilde{x} = \underbrace{\sum_{k=1}^r |c_k| e^{-2\pi i \varphi_k} \psi(e^{-2\pi i t_k})}_{\substack{\text{nichtnegative Linearkombination} \\ \text{von Vektoren vom Typ} \\ e^{-2\pi i \varphi} \psi(e^{-2\pi i t}) \in \mathbb{C}^d, \varphi, t \in \mathbb{T}}}.$$

NIEDERFREQUENTE MESSUNGEN ALS VEKTOR

Da $\hat{g} = \mathbb{1}_{|\cdot| \leq f}$, bleiben $d := 2f + 1$ Messungen

$$\tilde{x} := (\widehat{x_{\text{low}}}(j))_{|j| \leq f} = \left(\sum_{k=1}^r c_k e^{-2\pi i j t_k} \right)_{|j| \leq f} = \sum_{k=1}^r c_k \psi(e^{-2\pi i t_k}) \in \mathbb{C}^d,$$

wobei $\psi(z) := (z^j)_{|j| \leq f}$.

Zwischenbilanz:

$$x = \sum_{k=1}^r c_k \delta_{t_k} \xrightarrow[\text{Messung}]{\text{ergibt die}} \tilde{x} = \underbrace{\sum_{k=1}^r |c_k| e^{-2\pi i \varphi_k} \psi(e^{-2\pi i t_k})}_{\substack{\text{nichtnegative Linearkombination} \\ \text{von Vektoren vom Typ} \\ e^{-2\pi i \varphi} \psi(e^{-2\pi i t}) \in \mathbb{C}^d, \varphi, t \in \mathbb{T}}}.$$

Wie erhalten wir x aus \tilde{x} zurück?

SPARSAME ZERLEGUNG VON SIGNALEN

- Ziel: gegeben ein **dictionary** $\mathcal{A} \subseteq \mathbb{C}^d$, **zerlege** Signal $\tilde{x} \in \mathbb{C}^d$ in **endliche nichtnegative** Linearkombination **bezüglich** \mathcal{A} :

$$\tilde{x} = \sum_{a \in A \subset \mathcal{A}} c_a a, \quad c_a \geq 0, \quad |A| < \infty.$$

SPARSAME ZERLEGUNG VON SIGNALEN

- Ziel: gegeben ein **dictionary** $\mathcal{A} \subseteq \mathbb{C}^d$, **zerlege** Signal $\tilde{x} \in \mathbb{C}^d$ in **endliche nichtnegative** Linearkombination **bezüglich** \mathcal{A} :

$$\tilde{x} = \sum_{a \in A \subset \mathcal{A}} c_a a, \quad c_a \geq 0, \quad |A| < \infty.$$

- \exists sehr viele Zerlegungen von \tilde{x} . Welche sind „gut“?

SPARSAME ZERLEGUNG VON SIGNALEN

- Ziel: gegeben ein **dictionary** $\mathcal{A} \subseteq \mathbb{C}^d$, **zerlege** Signal $\tilde{x} \in \mathbb{C}^d$ in **endliche nichtnegative** Linearkombination **bezüglich** \mathcal{A} :

$$\tilde{x} = \sum_{a \in A \subset \mathcal{A}} c_a a, \quad c_a \geq 0, \quad |A| < \infty.$$

- \exists sehr viele Zerlegungen von \tilde{x} . Welche sind „gut“?
- Bilder simpel \implies Gut = **sparsam** $\iff c_a = 0$ für viele $a \in \mathcal{A}$.

SPARSAME ZERLEGUNG VON SIGNALEN

- Ziel: gegeben ein **dictionary** $\mathcal{A} \subseteq \mathbb{C}^d$, **zerlege** Signal $\tilde{x} \in \mathbb{C}^d$ in **endliche nichtnegative** Linearkombination **bezüglich** \mathcal{A} :

$$\tilde{x} = \sum_{a \in A \subset \mathcal{A}} c_a a, \quad c_a \geq 0, \quad |A| < \infty.$$

- \exists sehr viele Zerlegungen von \tilde{x} . Welche sind „gut“?
- Bilder simpel \implies Gut = **sparsam** $\iff c_a = 0$ für viele $a \in \mathcal{A}$.
- \rightsquigarrow Gegeben \tilde{x} und \mathcal{A} löse

$$\min_{(c_a)_{a \in \mathcal{A}} \subset [0, \infty)} \|c\|_0 \quad \text{sodass} \quad \tilde{x} = \sum_{a \in \mathcal{A}} c_a a, \quad (P_0)$$

wobei $\|c\|_0 := \#\{a \in \mathcal{A} : c_a \neq 0\}$.

SPARSAME ZERLEGUNG VON SIGNALEN

- Ziel: gegeben ein **dictionary** $\mathcal{A} \subseteq \mathbb{C}^d$, **zerlege** Signal $\tilde{x} \in \mathbb{C}^d$ in **endliche nichtnegative** Linearkombination **bezüglich** \mathcal{A} :

$$\tilde{x} = \sum_{a \in A \subset \mathcal{A}} c_a a, \quad c_a \geq 0, \quad |A| < \infty.$$

- \exists sehr viele Zerlegungen von \tilde{x} . Welche sind „gut“?
- Bilder simpel \implies Gut = **sparsam** $\iff c_a = 0$ für viele $a \in \mathcal{A}$.
- \rightsquigarrow Gegeben \tilde{x} und \mathcal{A} löse

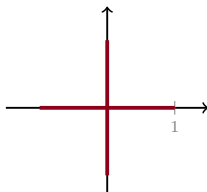
$$\min_{(c_a)_{a \in \mathcal{A} \subset [0, \infty)}} \|c\|_0 \quad \text{sodass} \quad \tilde{x} = \sum_{a \in \mathcal{A}} c_a a, \quad (P_0)$$

wobei $\|c\|_0 := \#\{a \in \mathcal{A} : c_a \neq 0\}$.

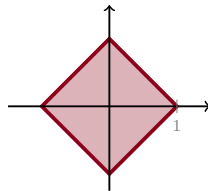
- ☹ $\|\cdot\|_0$ ist **nicht konvex**, **nicht „robust“**. (P_0) ist **NP-schwer**.

KONVEXIFIZIERUNG: ℓ_1 -MINIMIERUNG

Was ist die nächstbeste **konvexe** Zielfunktion?



(a) Der $\|\cdot\|_0$ -„Einheitsball“,
 $\{(x_1, x_2) \in \mathbb{R}^2 : \|x\|_0 \leq 1, |x_1|, |x_2| \leq 1\}$.

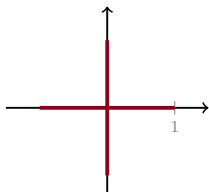


(b) Der $\|\cdot\|_1$ -Einheitsball.

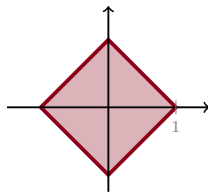
ABB. 3: Die konvexe Hülle von (a) ist (b).

KONVEXIFIZIERUNG: ℓ_1 -MINIMIERUNG

Was ist die nächstbeste **konvexe** Zielfunktion?



(a) Der $\|\cdot\|_0$ -„Einheitsball“,
 $\{(x_1, x_2) \in \mathbb{R}^2 : \|x\|_0 \leq 1, |x_1|, |x_2| \leq 1\}$.



(b) Der $\|\cdot\|_1$ -Einheitsball.

ABB. 3: Die konvexe Hülle von (a) ist (b).

↪ löse stattdessen

$$\min_{(c_a)_{a \in \mathcal{A}} \subset [0, \infty)} \|c\|_1 := \sum_{a \in \mathcal{A}} |c_a| \quad \text{sodass} \quad \tilde{x} = \sum_{a \in \mathcal{A}} c_a a. \quad (P_1)$$

DAS MINKOWSKI-FUNKTIONAL

Seien X ein **normierter** Raum und $\inf(\emptyset) := \infty$.

DAS MINKOWSKI-FUNKTIONAL

Seien X ein **normierter** Raum und $\inf(\emptyset) := \infty$.

DEFINITION

Das **MINKOWSKI-Funktional** einer Menge $A \subseteq X$ ist

$$p_A: X \rightarrow [0, \infty],$$
$$x \mapsto \inf\{r > 0 : x \in rA\}.$$

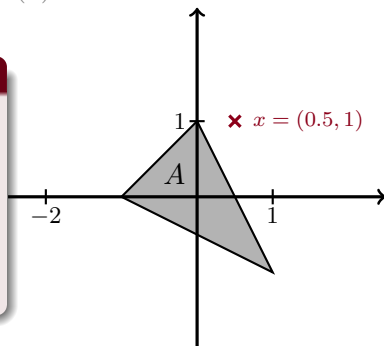
DAS MINKOWSKI-FUNKTIONAL

Seien X ein **normierter** Raum und $\inf(\emptyset) := \infty$.

DEFINITION

Das **MINKOWSKI-Funktional** einer Menge $A \subseteq X$ ist

$$p_A: X \rightarrow [0, \infty],$$
$$x \mapsto \inf\{r > 0 : x \in rA\}.$$



DAS MINKOWSKI-FUNKTIONAL

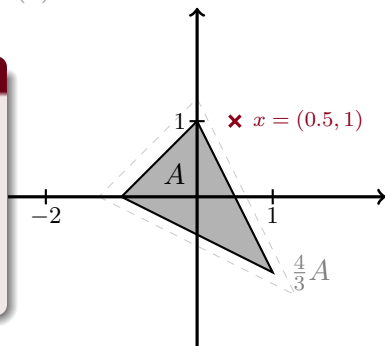
Seien X ein **normierter** Raum und $\inf(\emptyset) := \infty$.

DEFINITION

Das **MINKOWSKI-Funktional** einer Menge $A \subseteq X$ ist

$$p_A: X \rightarrow [0, \infty],$$

$$x \mapsto \inf\{r > 0 : x \in rA\}.$$



DAS MINKOWSKI-FUNKTIONAL

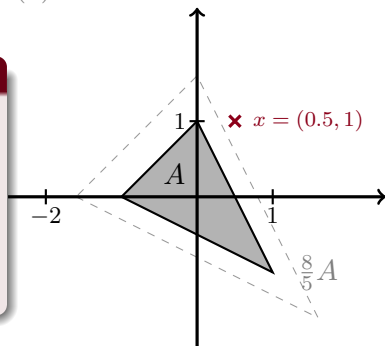
Seien X ein **normierter** Raum und $\inf(\emptyset) := \infty$.

DEFINITION

Das **MINKOWSKI-Funktional** einer Menge $A \subseteq X$ ist

$$p_A: X \rightarrow [0, \infty],$$

$$x \mapsto \inf\{r > 0 : x \in rA\}.$$



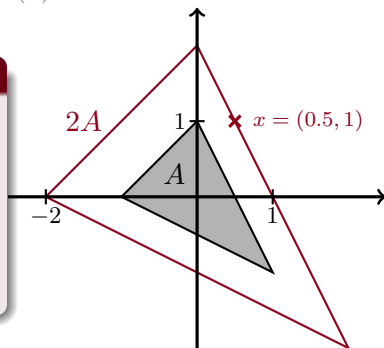
DAS MINKOWSKI-FUNKTIONAL

Seien X ein **normierter** Raum und $\inf(\emptyset) := \infty$.

DEFINITION

Das **MINKOWSKI-Funktional** einer Menge $A \subseteq X$ ist

$$p_A: X \rightarrow [0, \infty],$$
$$x \mapsto \inf\{r > 0 : x \in rA\}.$$



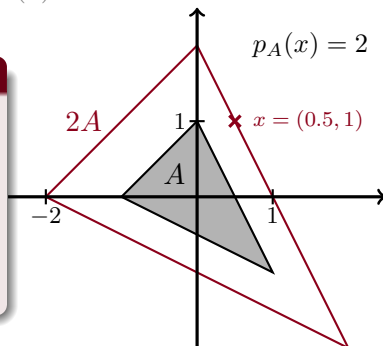
DAS MINKOWSKI-FUNKTIONAL

Seien X ein **normierter** Raum und $\inf(\emptyset) := \infty$.

DEFINITION

Das **MINKOWSKI-Funktional** einer Menge $A \subseteq X$ ist

$$p_A: X \rightarrow [0, \infty],$$
$$x \mapsto \inf\{r > 0 : x \in rA\}.$$



DAS MINKOWSKI-FUNKTIONAL

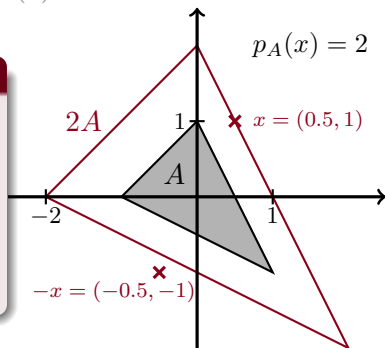
Seien X ein **normierter** Raum und $\inf(\emptyset) := \infty$.

DEFINITION

Das **MINKOWSKI-Funktional** einer Menge $A \subseteq X$ ist

$$p_A: X \rightarrow [0, \infty],$$

$$x \mapsto \inf\{r > 0 : x \in rA\}.$$



Beispiel. Wenn $B := \{x \in X : \|x\| \leq 1\}$, dann $p_B = \|\cdot\|$.

WANN IST p_A EINE NORM?

SATZ (NORMEIGENSCHAFTEN)

Ist $A \subseteq X$ eine nichtleere,

*Menge, dann ist p_A eine **Norm** auf X .*

WANN IST p_A EINE NORM?

SATZ (NORMEIGENSCHAFTEN)

Ist $A \subseteq X$ eine nichtleere, *konvexe*, *beschränkte*, *symmetrische*, *volldimensionale* Menge, dann ist p_A eine *Norm* auf X .

WANN IST p_A EINE NORM?

SATZ (NORMEIGENSCHAFTEN)

Ist $A \subseteq X$ eine nichtleere, *konvexe*, *beschränkte*, *symmetrische*, *volldimensionale* Menge, dann ist p_A eine *Norm* auf X .

symmetrisch: $rA = A \ \forall |r| = 1$.

WANN IST p_A EINE NORM?

SATZ (NORMEIGENSCHAFTEN)

Ist $A \subseteq X$ eine nichtleere, *konvexe*, *beschränkte*, *symmetrische*, *volldimensionale* Menge, dann ist p_A eine *Norm* auf X .

symmetrisch: $rA = A \ \forall |r| = 1$.

volldimensional: A enthält offene Umgebung von 0 .

DIE ATOMISCHE NORM

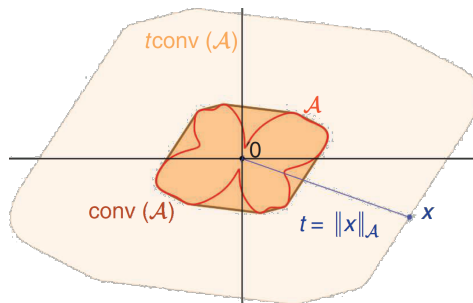
DEFINITION (ATOMISCHE NORM)

Die von $\mathcal{A} \subseteq \mathbb{C}^d$ induzierte **atomische Norm** $\|\cdot\|_{\mathcal{A}}$ ist $p_{\text{conv}(\mathcal{A})}$, das MINKOWSKI-Funktional von $\text{conv}(\mathcal{A})$.

DIE ATOMISCHE NORM

DEFINITION (ATOMISCHE NORM)

Die von $\mathcal{A} \subseteq \mathbb{C}^d$ induzierte **atomische Norm** $\|\cdot\|_{\mathcal{A}}$ ist $p_{\text{conv}(\mathcal{A})}$, das MINKOWSKI-Funktional von $\text{conv}(\mathcal{A})$.



Quelle: Fig. 1 aus: Y. Chi, M. Da Costa: *Harnessing Sparsity Over the Continuum: Atomic Norm Minimization for Superresolution*. IEEE Signal Process. Mag., 37(2):39–57, 2020.

DIE ATOMISCHE NORM FÜR SUPERRESOLUTION

Erinnerung: $\tilde{x} = \sum_{k=1}^r |c_k| e^{-2\pi i \varphi_k} \psi(e^{-2\pi i t_k})$.

DIE ATOMISCHE NORM FÜR SUPERRESOLUTION

Erinnerung: $\tilde{x} = \sum_{k=1}^r |c_k| e^{-2\pi i \varphi_k} \psi(e^{-2\pi i t_k})$.

\Rightarrow Wir wählen $\mathcal{A} := \{e^{-2\pi i \varphi} \psi(e^{-2\pi i t}) : \varphi, t \in \mathbb{T}\} \subset \mathbb{C}^d$.

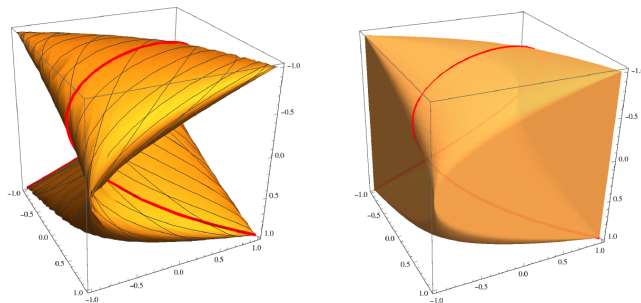


ABB. 4: $\mathcal{R}(\mathcal{A})$ und $\mathcal{R}(\text{conv}(\mathcal{A}))$ für $d = 3$.

DIE ATOMISCHE NORM FÜR SUPERRESOLUTION

Erinnerung: $\tilde{x} = \sum_{k=1}^r |c_k| e^{-2\pi i \varphi_k} \psi(e^{-2\pi i t_k})$.

\Rightarrow Wir wählen $\mathcal{A} := \{e^{-2\pi i \varphi} \psi(e^{-2\pi i t}) : \varphi, t \in \mathbb{T}\} \subset \mathbb{C}^d$.

$\xRightarrow{\text{Satz}} \|\cdot\|_{\mathcal{A}}$ ist eine Norm.

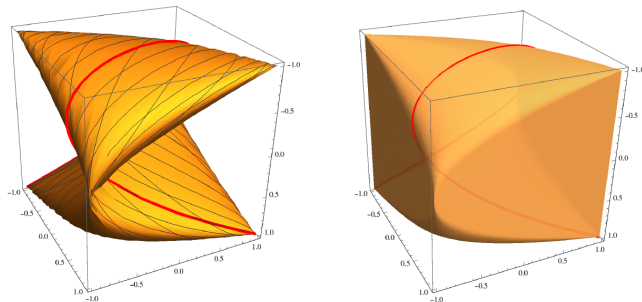


ABB. 4: $\mathfrak{R}(\mathcal{A})$ und $\mathfrak{R}(\text{conv}(\mathcal{A}))$ für $d = 3$.

$\|\cdot\|_{\mathcal{A}}$ UND (P_1)

Die atomische Norm löst das sparsame Zerlegungsproblem (P_1) :

$\|\cdot\|_{\mathcal{A}}$ UND (P_1)

Die atomische Norm löst das sparsame Zerlegungsproblem (P_1) :

SATZ (DARSTELLUNG DER ATOMISCHEN NORM)

Für eine *atomische Menge* $\mathcal{A} \subseteq \mathbb{C}^d$ und $\tilde{x} \in \mathbb{C}^d$ gilt

$$\|\tilde{x}\|_{\mathcal{A}} = \min \left\{ \|c\|_1 : \tilde{x} = \sum_{a \in \mathcal{A}} c_a a, \ c_a \geq 0 \right\}.$$

$\|\cdot\|_{\mathcal{A}}$ UND (P_1)

Die atomische Norm löst das sparsame Zerlegungsproblem (P_1) :

SATZ (DARSTELLUNG DER ATOMISCHEN NORM)

Für eine *atomische Menge* $\mathcal{A} \subseteq \mathbb{C}^d$ und $\tilde{x} \in \mathbb{C}^d$ gilt

$$\|\tilde{x}\|_{\mathcal{A}} = \min \left\{ \|c\|_1 : \tilde{x} = \sum_{a \in \mathcal{A}} c_a a, \ c_a \geq 0 \right\}.$$

Wie finden wir die **Anzahl** der Spikes r , die **Positionen** $(t_k)_{k=1}^r$ und die **Amplituden** $(c_k)_{k=1}^r$?

DAS DUALE PROBLEM - POSITIONEN FINDEN

Duale Problem

$$\|\tilde{x}\|_{\mathcal{A}} = \max_{p \in \mathbb{C}^d} \Re(\langle \tilde{x}, p \rangle) \quad \text{sodass} \quad \max_{t \in \mathbb{T}} |\langle \psi(e^{2\pi i t}), p \rangle| \leq 1 \quad (D_{\mathcal{A}})$$

DAS DUALE PROBLEM - POSITIONEN FINDEN

Duale Problem

$$\|\tilde{x}\|_{\mathcal{A}} = \max_{p \in \mathbb{C}^d} \Re(\langle \tilde{x}, p \rangle) \quad \text{sodass} \quad \max_{t \in \mathbb{T}} |\langle \psi(e^{2\pi i t}), p \rangle| \leq 1 \quad (D_{\mathcal{A}})$$

hat **semidefinite Formulierung** \leadsto schnell lösbar.

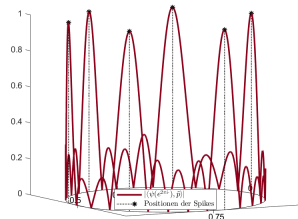
DAS DUALE PROBLEM - POSITIONEN FINDEN

Duale Problem

$$\|\tilde{x}\|_{\mathcal{A}} = \max_{p \in \mathbb{C}^d} \Re(\langle \tilde{x}, p \rangle) \quad \text{sodass} \quad \max_{t \in \mathbb{T}} |\langle \psi(e^{2\pi i t}), p \rangle| \leq 1 \quad (D_{\mathcal{A}})$$

hat **semidefinite Formulierung** \leadsto schnell lösbar.

Sei $\tilde{p} \in \mathbb{C}^d$ **Lösung** von $(D_{\mathcal{A}})$.



DAS DUALE PROBLEM - POSITIONEN FINDEN

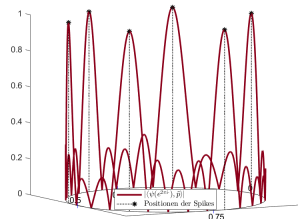
Duale Problem

$$\|\tilde{x}\|_{\mathcal{A}} = \max_{p \in \mathbb{C}^d} \Re(\langle \tilde{x}, p \rangle) \quad \text{sodass} \quad \max_{t \in \mathbb{T}} |\langle \psi(e^{2\pi i t}), p \rangle| \leq 1 \quad (D_{\mathcal{A}})$$

hat **semidefinite Formulierung** \leadsto schnell lösbar.

Sei $\tilde{p} \in \mathbb{C}^d$ **Lösung von $(D_{\mathcal{A}})$** . Dann

$$\{t_k\}_{k=1}^r = \{t \in \mathbb{T} : |\langle \psi(e^{2\pi i t}), \tilde{p} \rangle| = 1\}.$$



DAS DUALE PROBLEM - POSITIONEN FINDEN

Duale Problem

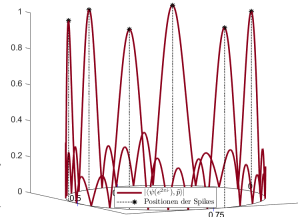
$$\|\tilde{x}\|_{\mathcal{A}} = \max_{p \in \mathbb{C}^d} \Re(\langle \tilde{x}, p \rangle) \quad \text{sodass} \quad \max_{t \in \mathbb{T}} |\langle \psi(e^{2\pi i t}), p \rangle| \leq 1 \quad (D_{\mathcal{A}})$$

hat **semidefinite Formulierung** \leadsto schnell lösbar.

Sei $\tilde{p} \in \mathbb{C}^d$ **Lösung von $(D_{\mathcal{A}})$** . Dann

$$\{t_k\}_{k=1}^r = \{t \in \mathbb{T} : |\langle \psi(e^{2\pi i t}), \tilde{p} \rangle| = 1\}.$$

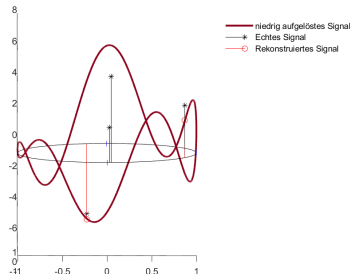
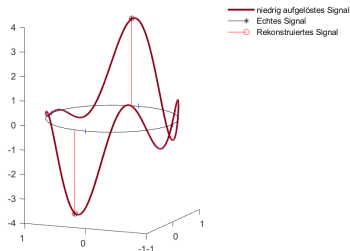
\leadsto **Positionen** $(t_k)_{k=1}^r$ sind Extrema des Betrages des trigonometrischen Polynoms $t \mapsto \langle \psi(e^{2\pi i t}), \tilde{p} \rangle$ mit Koeffizientenvektor \tilde{p} .



AMPLITUDEN FINDEN

Mithilfe der Positionen (näherungsweise bestimmt) $(t_k^{\text{est}})_{k=1}^r \subset \mathbb{T}$, finden wir die **Amplituden** $(c_k)_{k=1}^r$ durch Lösen des linearen Gleichungssystems

$$\sum_{k=1}^r c_k e^{-2\pi i j t_k^{\text{est}}} = \tilde{x}_j, \quad |j| \leq f.$$



Vielen Dank für eure
Aufmerksamkeit.

QUELLEN

Venkat Chandrasekaran, Benjamin Recht, Pablo Parrilo, and Alan Willsky.

The Convex Geometry of Linear Inverse Problems.

Foundations of Computational Mathematics, 12(6):849, Oct 2012.

Yuejie Chi and Maxime Ferreira Da Costa.

Harnessing Sparsity Over the Continuum: Atomic Norm Minimization for Superresolution.

IEEE Signal Processing Magazine, 37(2):39–57, 2020.

Gongguo Tang, Badri Narayan Bhaskar, Parikshit Shah, and Benjamin Recht.

Compressed sensing off the grid.

IEEE Transactions on Information Theory, 59(11):7465–7490, 2013.

Diese Folien \leadsto viktorajstein.github.io.

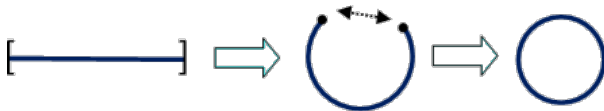
DIE MASSTHEORETISCHE PERSPEKTIVE

Unendlich-dimensionales lineares inverses Problem mit
 sparsamkeitsauswählender Zielfunktion: gegeben Messung $\tilde{x} \in \mathbb{C}^d$,
 löse

$$\inf_{\mu \in M(\mathbb{T})} \|\mu\|_{\text{TV}} \quad \text{s.d.} \quad \tilde{x} = \int_0^1 \psi(e^{-2\pi i t}) \, d\mu(t).$$

(U. a) weil die Extrempunkte des Einheitsballs in $M(\mathbb{T})$ aus spike trains bestehen, können wir stattdessen das endlich-dimensionale lineare inverse Problem $\inf_{c \in \mathbb{C}^d} \|c\|_1$ s.d. $\tilde{x} = Fc$, wobei F die partielle FOURIER-Matrix ist, lösen.

DER ZWEI-DIMENSIONALE FALL



DER ZWEI-DIMENSIONALE FALL

Anstatt \mathbb{T} : der (2-)Torus \mathbb{T}^2

DER ZWEI-DIMENSIONALE FALL

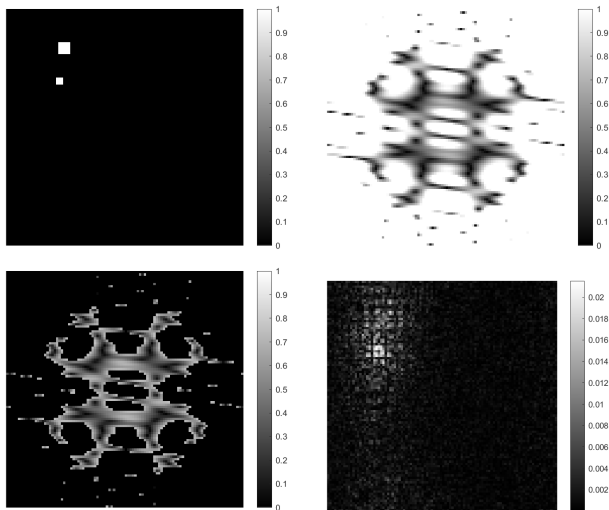


ABB. 5: Oben: x, \hat{x} . Unten: $\widehat{x}_{\text{low}}, x_{\text{low}}$.

DER ZWEI-DIMENSIONALE FALL

EXTREME POINTS OF CONVEX SETS

DEFINITION (EXTREME POINT OF A CONVEX SET)

A point $x \in C$ in a *convex* subset $C \subseteq X$ is an **extreme point** of C and we write $x \in \text{extr}(C)$ if there does not exist an open line segment contained in C that contains x , that is, the relations $x = \lambda y + (1 - \lambda)z$ for $y, z \in C$, $y \neq z$ and $\lambda \in [0, 1]$ imply that $\lambda = 0$ or $\lambda = 1$ and thus $x = y$ or $x = z$.

EXTREME POINTS OF CONVEX SETS

DEFINITION (EXTREME POINT OF A CONVEX SET)

A point $x \in C$ in a *convex* subset $C \subseteq X$ is an **extreme point** of C and we write $x \in \text{extr}(C)$ if there does not exist an open line segment contained in C that contains x , that is, the relations $x = \lambda y + (1 - \lambda)z$ for $y, z \in C$, $y \neq z$ and $\lambda \in [0, 1]$ imply that $\lambda = 0$ or $\lambda = 1$ and thus $x = y$ or $x = z$.

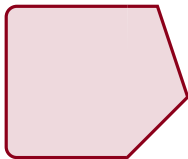


ABB. 6: The black dots are some extreme points of the set.

EXTREME POINTS OF CONVEX SETS

DEFINITION (EXTREME POINT OF A CONVEX SET)

A point $x \in C$ in a *convex* subset $C \subseteq X$ is an **extreme point** of C and we write $x \in \text{extr}(C)$ if there does not exist an open line segment contained in C that contains x , that is, the relations $x = \lambda y + (1 - \lambda)z$ for $y, z \in C$, $y \neq z$ and $\lambda \in [0, 1]$ imply that $\lambda = 0$ or $\lambda = 1$ and thus $x = y$ or $x = z$.

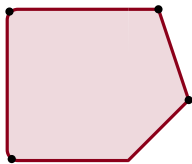


ABB. 6: The black dots are some extreme points of the set.

SEMIDEFINITE FORMULATION FOR $\|p\|_{\mathcal{A}}^* \leq 1$

SATZ (NONNEGATIVE TRIGONOMETRIC POLYNOMIALS AND HERMITIAN GRAM MATRICES)

For $p \in \mathbb{C}^d$, the following are *equivalent*.

SEMIDEFINITE FORMULATION FOR $\|p\|_{\mathcal{A}}^* \leq 1$

SATZ (NONNEGATIVE TRIGONOMETRIC POLYNOMIALS AND HERMITIAN GRAM MATRICES)

For $p \in \mathbb{C}^d$, the following are *equivalent*.

1. We have $|\langle \psi(e^{2\pi i w}), p \rangle_{\mathbb{R}}| \leq 1$ for all $w \in \mathbb{T}$.

SEMIDEFINITE FORMULATION FOR $\|p\|_{\mathcal{A}}^* \leq 1$

SATZ (NONNEGATIVE TRIGONOMETRIC POLYNOMIALS AND HERMITIAN GRAM MATRICES)

For $p \in \mathbb{C}^d$, the following are *equivalent*.

1. We have $|\langle \psi(e^{2\pi i w}), p \rangle_{\mathbb{R}}| \leq 1$ for all $w \in \mathbb{T}$.
2. There exists a HERMITIAN matrix $Q \in \mathbb{C}^{d \times d}$ such that

$$\begin{pmatrix} Q & p \\ p^H & 1 \end{pmatrix} \succeq 0 \quad \text{and} \quad T^*(Q) = e_0,$$

SEMIDEFINITE FORMULATION FOR $\|p\|_{\mathcal{A}}^* \leq 1$

SATZ (NONNEGATIVE TRIGONOMETRIC POLYNOMIALS AND HERMITIAN GRAM MATRICES)

For $p \in \mathbb{C}^d$, the following are *equivalent*.

1. We have $|\langle \psi(e^{2\pi i w}), p \rangle_{\mathbb{R}}| \leq 1$ for all $w \in \mathbb{T}$.
2. There exists a HERMITIAN matrix $Q \in \mathbb{C}^{d \times d}$ such that

$$\begin{pmatrix} Q & p \\ p^H & 1 \end{pmatrix} \succeq 0 \quad \text{and} \quad T^*(Q) = e_0,$$

where $T^*(Q)_k = \text{Tr}[\Theta_k Q]$ and Θ_k is the **TOEPLITZ matrix** whose first row is the k -th unit vector e_k , where $k \in \{0, \dots, d-1\}$.

↷ Dual problem can easily be solved by convex solvers

GRENZEN VON SUPERRESOLUTION



ABB. 7: Superresolution ist nicht unbegrenzt möglich.

Quelle: phdcomics.com/comics.php?f=1156